

한국부식학회지  
Journal of the corrosion Science Society of Korea  
Vol. 13, No. 2, Jun. 1984.

## (研究論文)

磷酸 水溶液의 市販用 純 알루미늄 腐蝕에  
미치는 Aniline 誘導體의 영향

金起柱

全北大學校 工科大學 化學工學科

(Effect of Substituted Anilines on the Corrosion  
of Commercial Pure Aluminum in Phosphoric Acid)

Ki-J. Kim

Dep't of Chemical Eng. Chonbuk National University

## ABSTRACT

The inhibition of commercial pure aluminum by substituted anilines in aqueous phosphoric acid has been studied.

1. The inhibitive efficiency increases with increase in the concentration of the substituted anilines. At substituted anilines concentration of 0.1 - 0.5 wt % in 0.33 M  $H_3PO_4$  at 10°C, the efficiencies are as follow; aniline: 11.5% - 30%, methyl aniline: 6% - 26%, o-toluidine: 0 - 17.5%.
2. The inhibitive efficiency decreases, with rise in temperature from 20°C to 50°C in 0.33 M  $H_3PO_4$  contained 0.5 wt % substituted anilines, as follow: aniline: 29.4% → 9%, methyl aniline: 26% → 8%, o-toluidine: 17.5% → 12%.

## 1. 序論

알루미늄은 輸送, 建築, 電氣機器, 包裝, 日用品關係等에 널리 쓰이고 있는 金屬으로 그 消費量은 最近에 急增되고 있다.

알루미늄은 空氣中에서는 表面의 脂肪酸化物膜 때문에 安定하다. 이 膜은 弱酸性 또는 弱鹽基性 溶液에서 安定하나 強酸이나 強鹽基 溶液에서는 알루미늄의 保護作用이 없다.<sup>1,2)</sup>

알루미늄의 電氣化學的의 表面處理에 앞서 脱脂의 方法으로 酸洗滌이 널리 利用되는데 酸溶液의 腐蝕作用을

抑制할 필요가 있다<sup>3)</sup>.

Aniline이나 glycerine, thiourea, glucose 및 gelatine 등을 磷酸과 같은 酸溶液에 添加하여 알루미늄 등의 금속을 浸漬하면 금속의 腐蝕은 抑制되면서 脱脂效果와 光澤을 얻을 수 있다<sup>4,5)</sup>.

印도의 Talati<sup>6)</sup>는 酸性溶液의 Al-Mn合金腐蝕에 관한 研究에서 腐蝕抑制剤로 aniline 誘導體를 택하여 이들의 效果를 芽힌 바 있다.

本 研究는 磷酸의 市販用 純 알루미늄板의 腐蝕을 抑制할 수 있는 腐蝕抑制剤 開發을 목적으로 하고 있다.

一段階로 aniline 과  $-CH_3$  基의 誘導體인 methyl aniline 및 o-toluidine 이 磷酸水溶液의 腐蝕作用에 미치는 影響에 관하여 腐蝕減量 測定法을 利用하여 研究하였다.

## 2. 実験

### 2-1 試片 및 腐蝕媒體

試片은 두께 0.8 mm인 市販의 平滑한 純 알루미늄 板이며 그의 化學組成은 Table 1과 같다.

이 알루미늄 試片은 50 mm  $\times$  40 mm 크기의 直四角形으로 하고 끝에 걸 수 있도록 上部 中心에 約 8 mm의 구멍을 開었다. 이를 試片은 表面을 증류수로 깨끗이

씻고 ethyl alcohol을 묻힌 가제로 50미 닦아낸 후 trichloro ethylene, ether에 常溫에서 30分間 浸漬한 다음 데시케이터内에서 乾燥하여 精量한 후 사용하였다.

腐蝕媒體는  $H_3PO_4$  (Wako, E. P) 와 再蒸溜水로 調製한 0.33M (1 normal  $H_3PO_4$ ), 0.66M, 1.32M, 1.65M, 1.98M, 2.31M 및 2.64M의  $H_3PO_4$  水溶液과 이를 溶液에 역시 Wako의 E. P品인 aniline, methyl aniline 및 o-toluidine을 重量比로 각각 0.1%, 0.2%, 0.3%, 0.4% 및 0.5%가 되도록 添加한 溶液을 使用하였다. 여기서 aniline, methyl aniline 및 o-toluidine을 便易上 anilines라 하였다.

Table 1. Chemical composition of the aluminum specimen

Elements	Cu	Zn	Mn	Mg	Cr	Ni	Ti	Fe	Si	Al
wt %	0.007	0.018	0.003	0.001	0.005	0.005	0.012	0.35	0.16	99.439

### 2-2 実験方法

#### 1) 試片의 腐蝕減量 測定

腐蝕媒體인 磷酸水溶液을 230ml 씩 유리 비이커에 取한 후 試片을 한 片씩 完全히 浸漬하여 空氣中에 放置하였다. 혹은 同一한 숟가의 유리봉을 利用하여 試片이 腐蝕媒體內에서 浸漬되는 동안 支持할 수 있도록 만들었다. 所定의 時間동안 浸漬된 試片을 噴射蒸溜水로 깨끗이 씻고 定溫(50°C) 乾燥하여 desicator 内에 放置한 후 直示天秤(Shimadzu M-S-7 sensibility : 0.1mg) を 사용하여 腐蝕減量을 구하였다.

#### 2) 温度 및 浸漬時間 變化

恒温槽을 사용하여 腐蝕媒體의 温度를 20°C, 30°C, 40°C 및 50°C까지 10°C 間隔으로 變化시키며 各 温度에서 1時間동안 試片을 浸漬하였고 또 10°C에서 浸漬時間 을 1時間의 間隔으로 5시간까지 變化시켜 各時間의 試片의 무게 減量을 求하였다.

## 3. 結果 및 고찰

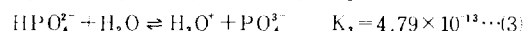
### 3-1 試片의 表面관찰

腐蝕媒體에 浸漬된 試片의 表面은 黃은 회색膜이 成되었는데 이膜은 噴射水나 고무마개등으로 문지르면 쉽게 除去되었다. 試片에서 分離된 膜質은 그腐蝕媒體에 다시 溶解되었고 이로인한 不純物의 量은 증가될 것으로 예상되었다. 浸漬된 試片을 깨끗이 씻고 관찰하면 表面이 均一하게 浸蝕되어 있는 것을 볼 수 있었으며 이를 끝 anilines 가 添加된 溶液에 넣으면 鈍濁한 表面

으로 变하였다. anilines의 添加量이 증가하면 그膜은 더욱 단단하고 알루미늄의 表面에 密着되어 除去되기 어렵게 되었다. 알루미늄의 表面을 SEM에 의해 관찰하면 Fig. 1에 나타난 바와 같다. (a)는 試片을腐蝕媒體에 浸漬하지 않고 表面을 走査한 것이며 比較的 平滑한 表面으로 나타나있다. (b)는 aniline이 添加되지 않은 0.33M의  $H_3PO_4$  液에 20°C에서 4시간동안 浸漬한 것으로 表面은 大部分 腐蝕이 活発하게 나타나 있으며 (c)는 0.33M의  $H_3PO_4$  液에 0.5 wt%의 aniline을 添加하여 20°C에서 4시간 浸漬한 것인데 表面은 孔蝕痕迹을 볼 수가 있으나 (b)보다 腐蝕이 抑制된 것으로 나타났다.

### 3-2 $H_3PO_4$ 水溶液의 알루미늄 腐蝕挙動

水溶液에서 磷酸의 解離는 다음과 같은 식으로 표현된다<sup>9)</sup>.



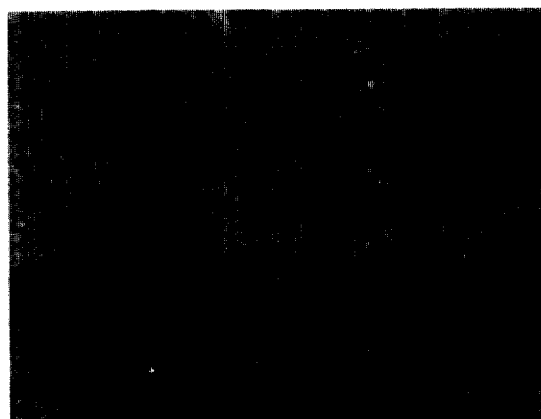
解離常数의 크기를 比較하면 알루미늄의 腐蝕은 (1)의 反応에 의하여支配된다고 할 수 있다. 그 이유는 (1)과 같은 磷酸의 解離反応으로 溶液의 pH가 3以下가 될 것이며 이 pH값은 알루미늄의 耐蝕酸度以上이 되기 때문이다.  $K_1$ 에 比해  $K_2$ 도 작지만  $K_3$ 는 無視할 수 있으므로 磷酸水溶液은 主로 非解離 상태인  $H_3PO_4$ 와  $H_2O$ ,  $H_2PO_4^-$ 가 대부분이라고 할 수 있고  $PO_4^{3-}$  이온은 거의



a) not immersed.



b) immersed in 0.33 M  $H_3PO_4$  for 4 hrs at 20°C.



c) immersed in 0.33 M  $H_3PO_4$  contained 0.5 wt % aniline for 4 hrs at 20°C.

在하지 않는다고 할 수 있다

알루미늄의 磷酸염의 溶解度의 크기는  $\text{Al}(\text{H}_2\text{PO}_4)_3$ ,  $> \text{Al}_2(\text{HPO}_4)_3$ ,  $> \text{Al}_3\text{PO}_4$  이므로 磷酸水溶液의 알루미늄 腐蝕反應은 다음 反應式으로 표현된다<sup>6)</sup>.

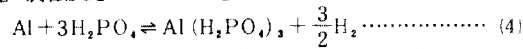


Fig 2는  $H_3PO_4$  수용액의 pH(pH meter : Metron CH-900) 변화를 나타낸 것이다.  $H_3PO_4$ 의 농도가 0.33M 일 때, pH는 1.45로, 농도가 2.64M 일 때, pH는 1.05로, 농도가 2.2M 일 때, pH는 1.15로, 농도가 0.5M 일 때, pH는 1.35로 각각 변화하였다. 용액의 pH는 1.45에서 1.05로 변하였는데 알루미늄의腐蝕으로 인한 燒酸의 消耗로 생기는 溶液의 酸度의 变化는 pH計로 확인할 수 없었다.

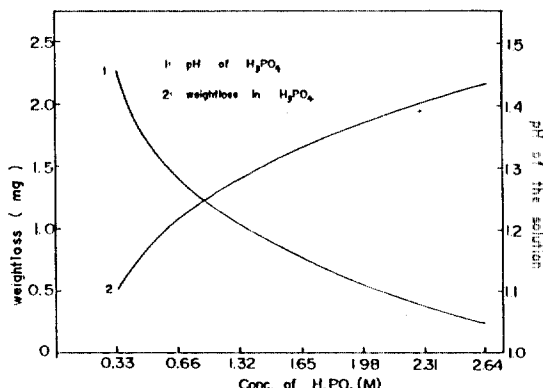


Fig. 2 Effect of  $H_3PO_4$  concentration on the weight-loss of the aluminum and change in pH of the solution at 10°C for 1 hr

浸漬時間에 따른腐蝕量의變化를 調査하기 위하여 5시간동안 알루미늄을 磷酸水溶液에 浸漬하면서 每시간의腐蝕量을測定하여 Fig.3에 나타내었다. Fig. 3은 每시간의腐蝕量을各各 다르게 나타내고 있다. 그러나腐蝕의 현상은 비슷하다고 할수 있다. 즉 初期에는活潑하고 그 후(浸漬 2시간째)에는 減小되다가 다시 점차活潑해 진다. 浸漬된 2시간째의腐蝕의 감소현상은 磷酸의濃度가 를수록甚한데 이와같은현상은腐蝕反應에隨伴되어生成되는 수소의 원인인듯하다. 初期에腐蝕反應이活潑하여 수소의量은急増되고溶液에포화되어지는데 그동안腐蝕反應은抑制되나過飽和상태에이르면 수소는溶液外部로發散되면서反應은다시活潑해질것이다.

溫度變化에 따른 腐蝕量을 구하여 Fig. 4의 半對數紙에 나타내었다.

온도가  $10^{\circ}\text{C}$  증가하면, 유휴량은 약 2 배의 증가가 있

는데  $H_3PO_4$ 의 濃度가 클수록 알루미늄의 腐蝕은 온도의 影響을 크게 받는 것으로 나타났다.

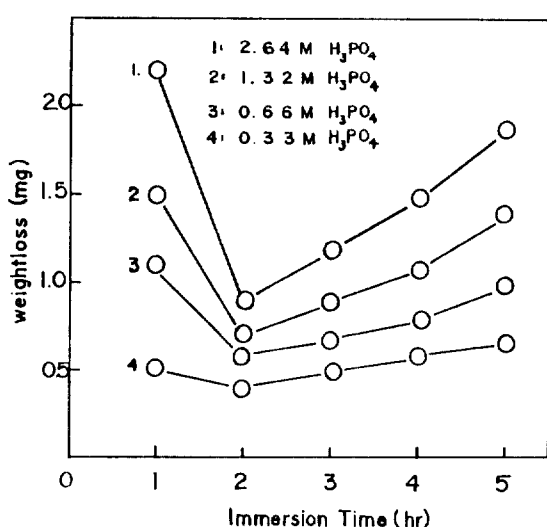


Fig. 3 Effect of immersion time on the weightloss of the aluminum in  $H_3PO_4$  solution at different concentrations at 10 °C

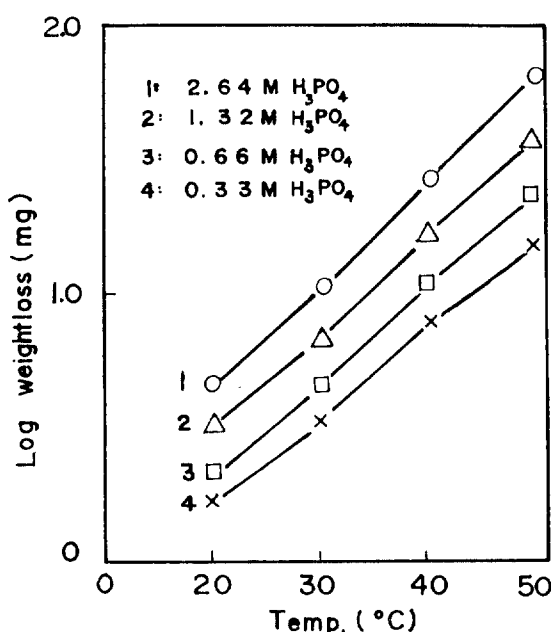


Fig. 4 Effect of temperature on corrosion of the aluminum in  $H_3PO_4$  at different concentrations for 1 hr

### 3-3 Anilines의 添加 影響

酸이나 알카리용액인 腐蝕媒體에 aromatic compounds를 添加하여 腐蝕을抑制할 수 있다는 것은 이미 많이 알려져 있다<sup>10-12</sup>. 그중에서도 B. G. Ateya<sup>13</sup> 등은 triphenyl tetrazolium chloride의 腐蝕抑制效果를活性화 에너지의變化 및 腐蝕 potential의變化에 의해比較하였고 B. Donnelly<sup>14</sup> 등은 R(alkyl)基의電子共鳴性에 의해 R-CS-NH<sub>2</sub>의腐蝕抑制性을 밝혔다. 특히酸性溶液인腐蝕媒體에 anilines의添加에 의한腐蝕抑制效果에 관해서는 Talati<sup>15</sup>를 비롯하여 T. M. Salen<sup>16</sup>과 B. M. Badran<sup>17</sup> 등이研究하였는데 anilines의分子의크기 및 塩基度와 anilines의 질소원자의電子密度등이 중요한影響를 갖는다고 밝하고 있다.

本研究의 磷酸溶液에添加된 anilines의影響는 아래의 (5)式을 이용하여 구한腐蝕抑制效果, I(Inhibitive efficiency)<sup>17-19</sup>값,에 의해比較하였다.

$$\text{腐蝕抑制效果 (I)} = \frac{W_u - W_i}{W_u} \times 100 \quad \dots\dots\dots (5)$$

여기서  $W_u$ ,  $W_i$ 는 anilines가添加되지 않은 경우와添加된 경우의 알루미늄의腐蝕量(mg)이다.

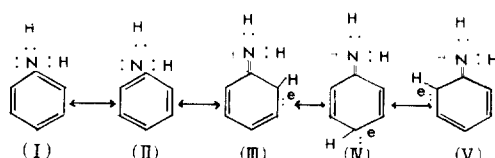
Table 2는 anilines의解離度와磷酸溶液의酸度에 미치는影響를 나타낸 것이다. Table 2로부터 anilines는磷酸溶液의酸度를弱化시키는 塩基性物質이라고 할 수 있다

Table 2. pK<sub>a</sub> values of the anilines and pH values of 0.33M  $H_3PO_4$  contained 0.5% anilines

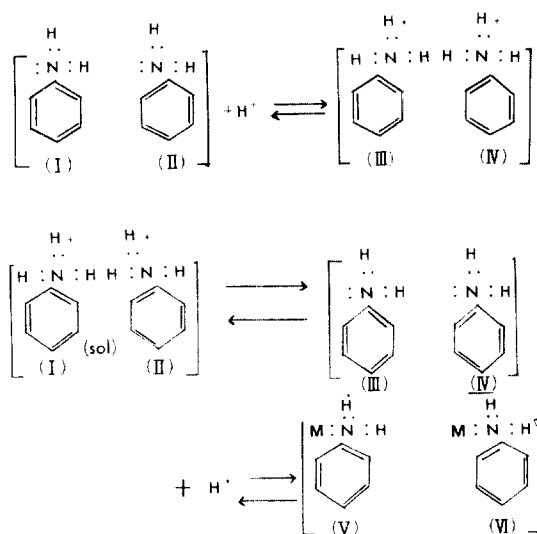
anilines	pK <sub>a</sub> *	pH
Nil		1.45
Aniline	9.30	3.45
Methyl aniline	9.60	3.09
o-Toluidine	9.47	2.95

\* Data from 20, 21.

그런데 芳香族 아민類는 일반적으로 脂肪族 아민類보다 塩基性은 弱한데 그 이유는 芳香族 아민을 구성하고 있는 질소 원자는 脂肪族 아민에 比해 非共有電子對이 부족하고 또 電子密度는 非偏在되어 다음과 같이 共鳴구조를 이루어 安定하기 때문이다<sup>6, 20</sup>.



脂肪族 아민에 비해 弱한 塩基性인 芳香族 아민은 酸性溶液의 pH를 크게 变化시키지는 못하며 또 磷酸溶液의 酸基에 의해 遊離塩基로 存在하지 못하고 알루미늄과의 接觸界面에 陽이온 형태인 anilinium 이온으로 存在하다가 알루미늄의 腐蝕反應이 시작되면 그 表面의 anodic points에 靜電氣的으로 附着하던지 아니면 cathodic sites의 塩基性을 生成하여 알루미늄 表面에 附着할 수 있는 遊離塩基를 증가시키게 한다<sup>6, 20)</sup>.



이와 같은 吸着은 腐蝕을 抑制하는 投割을 하게 되는데 이는 Table 2의 anilines가 添加된 磷酸溶液은 알루미늄의 耐蝕作用이 불가능한 pH가 3.5이하 인데도 I 값을 18%~30% (Fig 5) 얻을 수 있다는 사실로도 알 수

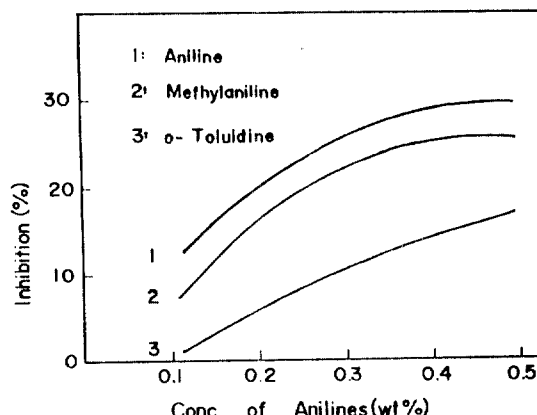


Fig. 5 Effect of the anilines concentration on the efficiency of inhibition of the aluminum in 0.33 M  $H_3PO_4$  at 10°C for 1 hr

있다. 결국 anilines는 磷酸溶液을 어느 정도는 中和하여 pH의 变化를 가져오며 알루미늄의 表面에 吸着되면서 腐蝕을 抑制한다고 볼 수 있다.

### 1) Anilines의 添加量의 影響

anilines의 添加量 变化에 따른 I 값의 变化를 Fig. 5에 표시하였다.

添加量이 증가하면 I 값도 증가하는데 I 값의 크기는 aniline (11.5%~30%) > methyl aniline (6%~26%) > o-toluidine (0~17.5%)이다. 이미 言及된 内容에 의하면 anilines의 添加量이 많아지면 알루미늄의 表面에 anilines의 吸着量이 증가되고 따라서 I 값이 증가된다 고 할 수 있다. anilines의 添加量을 C라 하고 I 값을 anilines의 吸着量인 a로 나타내면 Fig. 5의 각 곡선은  $a = \alpha C^{1/n}$ 의 式에 접근한다. 여기서  $\alpha$ 와 n은 温度와 渾度에 의해 결정되는 常数이다. 그래서 3種類의 anilines는 Freundlich's adsorption formula<sup>22)</sup>의 吸着性이 를 것으로 想定된다.

그런데 anilines의 吸着은 알루미늄의 表面에 垂直으로 配向된 anilines의 질소원자의 作用力이나 또는 알루미늄의 表面에 平행상태로 非偏在된 aniline 核의  $\pi$  電子群에 의해서 이루어지는 것으로 알려져 있다<sup>23)</sup>.

### 2) 温度의 影響

Fig. 6은 温度变化와 添加量의 크기가 I 값에 미치는 影響을 나타낸 것이다. 温度가 증가하면 I 값이 상당히 減小하는 경향이 있다. 감소폭은 0.5wt%의 anilines 가 添加된 경우를 보면 aniline (29.4%→9%)>methyl aniline (26%→8%)>o-toluidine (17.5%→12%)의 크기順이며 aniline이 가장 温度변화에 민감한 I 값의 減小성을 갖는다.

Putilova<sup>24)</sup>는 活性化에너지에 의해 添加物의 吸着상태를 밝혔는데 本研究에서도 anilines의 吸着상태를 알기 위하여 Talati 등이 이용한 (6)式<sup>25)</sup>으로 活性化에너지를 계산하여 Table 3과 4에 수록하였다.

$$\text{活性化에너지 } (E) = \frac{R(T_a T_b)}{T_b - T_a} \ln \frac{k_b}{k_a} \dots\dots\dots (6)$$

여기서  $k_a$ ,  $k_b$ 는 절대온도인  $T_a$ ,  $T_b$ 에서의 腐蝕量 ( $mg / (20cm^2) hr$ )이다.

Talati<sup>26)</sup>나 B. G. Ataya<sup>13)</sup>가 계산한 E와 Table 3을 비교하면 Table 3의 E값들은 큰 差異가 없이 비슷하다. 그래서 磷酸의 알루미늄 腐蝕反應의 E는 평균값인 62.84 KJ/mol로 推定되어 30°C~40°C의 温度에서 温度依存性이 증가됨을 알 수 있다.

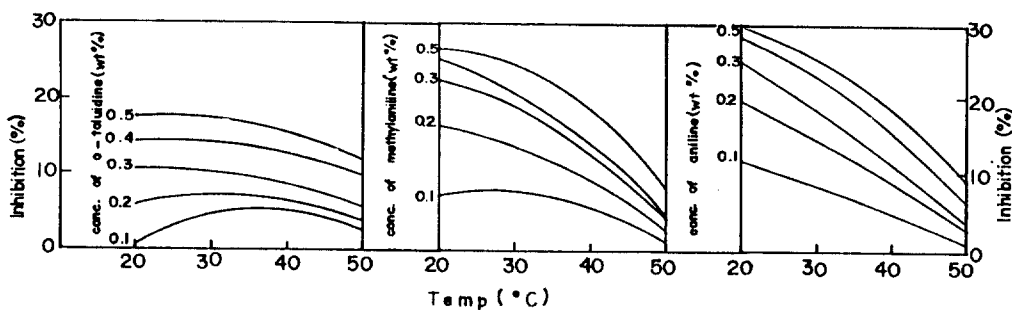


Fig. 6 Influence of Temperature on the inhibitive efficiency of the anilines at different concentrations for the aluminum in 0.33M  $H_3PO_4$ .

Table 3. Activation energy, E, (KJ/mol) for corrosion of the aluminum in  $H_3PO_4$  solution

Temperature range M of $H_3PO_4$	20°C - 30°C	30°C - 40°C	40°C - 50°C	mean
0.33	50.996	65.372	56.137	57.502
0.66	54.396	67.188	65.818	62.467
1.32	52.696	72.636	67.751	64.361
2.64	59.495	78.084	75.495	71.027
mean	54.40	70.82	66.30	63.84

Table 4는 anilines가 添加된 상태에서의 E값이다. Table 3의 E와 큰 差異가 없다. 이는 anilines의 添加가 磷酸의 알루미늄 腐蝕의 메카니즘에 影響을 주지 못하기 때문이다며 이로써 Putilova의 理論에 따르면 anilines는 알루미늄의 表面에 物理的인 吸着性이 크다고 할 수 있다.

Table 4. Activation energy, E, for corrosion of the aluminum in 0.33M  $H_3PO_4$  contained 0.5 wt% anilines.

anilines	E, KJ/mol for temperature range of			
	20°C - 30°C	30°C - 40°C	40°C - 50°C	mean
Nil	50.996	65.372	56.137	57.502
o-toluidine	51.171	67.621	58.907	59.233
aniline	54.185	78.913	59.499	64.199
methyl aniline	48.276	77.745	61.954	62.650
mean	51.16	72.41	59.12	60.90

Fig. 6을 보면 I값은 anilines의 添加量이 커지면 증가하고 온도가 증가하면 减小되는데 이와 같은 성질은 이미 밝힌 Table 3과 4의結果에서와 같이 ani-

lines의 物理的인 吸着性으로 설명된다. 즉 anilines의 吸着量이 I값을 결정하는데 温度가 증가하면 吸着量은 减小하고 anilines의 添加量이 많아지면 증가되기 때문이다. 温度가 증가되면 吸着量이 减小되는 이유로는 필요한 anilinium 이온의 遊離塩基數나 질소 원자의 作用力 또는 aniline核에 非偏在된  $\pi$ 電子의 密度가 弱化되는 방향으로 影響을 받기 때문일 것으로 생각된다. 그와 같은 성질은 o-toluidine에 比하여 methyl aniline과 aniline이 상당히 甚할 것으로 판단된다.

### 3) 誘導基의 影響

aniline에 存在한 誘導基( $-CH_3$ )의 影響을 Fig. 5에서 찾아볼 수 있다. aniline의 I값과 誘導基가 存在한 anilines(methyl aniline, o-toluidine)의 I값은 다르다. 誘導基에 의해 aniline의 아민基에 存在한 질소原子의 作用力이나 aniline의 核에 非偏在된  $\pi$ 電子의 密度에 影響을 받기 때문이다.

aniline의 아민基가 갖고 있는 수소 한 原子와  $-CH_3$ 基가 置換된 것(aniline의 枝置換体)인 methyl aniline은 aniline보다 I값이 작다. methyl aniline의  $-CH_3$ 基는  $+R$ (resonance)와  $+I$ (inductive)效果인 電子주계의 作用基이지만 aniline의 I값을 减小시키는 것은  $-CH_3$ 基가 아민基의 수소原子와 置換되면 질소原子의 偏在된 電子密度에 影響을 미치게 되어 질소原子의 作用力を 减小시키기 때문이다<sup>6, 20)</sup>.

Richards<sup>21)</sup> 등에 의하면 aniline의 아민基가 갖는 질소原子가 電子를 安定하게 받을 수 있도록 誘導基가 aniline의 核에 置換되어 塩基度와 電子密度를 증가시키면 I값이 증가된다고 하는데 Fig. 5에서는 o-toluidine의 I값은 aniline의 I값보다 작다. 즉  $-CH_3$ 基에 의한 aniline의 核置換(ortho-position)은 aniline의 I값을 减小시킨다. aniline核의 ortho 위치에  $-CH_3$ 基의 置換이 이루어지는 경우는 아민基에 가장 가까운 aniline

의 核置換이 되고 이는 아민基의 질소原子에 立体 장해를 주게 되어 塩基度를 감소시키는 결과를 주기 때문인 것으로 알려져 있다<sup>6, 20</sup>.

誘導基인  $-CH_3$ 基에 의한 aniline의 枝置換이나 核置換(ortho-position)은 aniline의 I<sub>s</sub>값을 減小시키게 되는데 그중 核置換(ortho-position)에 의해 더욱 심한 減小의 影響을 받는 것으로 나타나 있다.

#### 4. 結論

市販用 純 알루미늄板의 磷酸에 의한 腐蝕은 aniline誘導體의 添加에 의하여 腐蝕抑制의 效果를 다음과 같아 얻을 수 있다.

- (1) aniline誘導體의 添加量이 많아지면 腐蝕抑制效果도 커지는데 10°C의 0.33M  $H_3PO_4$ 水溶液에 添加量이 0.1wt%~0.5wt%일 경우에는 aniline은 11.5%~30%, methyl aniline은 6%~26% 또 o-toluidine은 0~17.5%의 腐蝕抑制效果를 얻는다.
- (2) 温度가 증가하면 腐蝕抑制效果는 減小되는데 0.33M  $H_3PO_4$ 水溶液에 0.5wt%가 添加된 경우에 温度가 20°C에서 50°C로 증가하면 腐蝕抑制效果의 減小는 aniline은 29.4%→9%, methyl aniline은 26%→8% 또 o-toluidine은 17.5%→12%가 된다.

#### 参考文献

1. J. D. Talati and R. M. Modi, corrosion prevention & control, April (1977) 6~10.
2. J. D. Talati and R. M. Modi, Br. corros. J., **14** (2) (1979) 109~112.
3. 高橋越民, “界面活性剤ハンドブック”, 工学図書 (1975) 224, 225, 324
4. Michael, Gulla, Ger., offen. 1, 803, 356, 14 August (1969).
5. Evans, U. R., “The corrosion and oxidation of metals”, Edward Arnold(London), (1960) 257.
6. J. D. Talati and G. A. Patel, Br. Corros. J., **11** (1) (1976) 47~51.
7. W. H. Ailor, “Hand book on corrosion testing and evaluation”, John Wiley and sons, (New York), (1971) 119.
8. 金教秀, Yeungnam univ. theses collection, 3 (1969) 171~177.
9. Pecok, R. L., & Shields, L. D., “Modern Methods of chemical analysis”, Wiley and sons, (New York), (1968) 369.
10. N. Subramanyan, Corrosion science, **11** (1971) 115~123.
11. Firbonod, Corrosion science, **18** (1978) 139~149.
12. Meisel, K., Werkst. Korros. **29** (10) (1978) 654~664.
13. B. G. Ateya, Corrosion science, **22** (8) (1982) 717~721.
14. Donnelly, Corrosion science, **18** (1978) 109~116.
15. T. M. Salem, Corrosion science, **18** (1978) 363~369.
16. B. M. Badran, Corrosion science, **22** (6) (1982) 513~523·525~536.
17. P. G. Fox, Corrosion science, **19** (1979) 457~467.
18. H. B. Rudresh, J. Electrochem. Soc., **124** (3) (1977) 340~342.
19. S. M. Mayanna, Corrosion science, **19** (1979) 361~370.
20. Morrison & Boyd, “Organic chemistry” 3rd ed. Allyn & Bacon (1973) 749~755.
21. Fisher, L. F., & Fisher, M., “Organic chemistry” (Asia Pub) (1962) 597.
22. Vladimir Ponec, “Adsorption on solids”, Butterworths (London) (1974) 285~352, 437, 612.
23. Annad, R. R., J. Electrochem. Soc., **112** (1965) 138.
24. I. N. Putilova, “Metallic corrosion Inhibitors”, Pergamon press (1960) 26~32.
25. J. D. Talati and N. H. Joshi, Werkstoffe und Korros **31** (1980) 926~933.
26. Riggs, O. L., Corrosion, **18** (1962) 262.